

ارزیابی میزان پایداری و ناپایداری کناره و بستر رودخانه‌ی مسیل موچان

(شهرستان آستانه - استان مرکزی)

پروین غلامی*: کارشناسی ارشد ژئومورفولوژی، دانشکده‌ی علوم زمین، دانشگاه شهید بهشتی، تهران.

محمد‌مهدی حسین‌زاده: دانشیار گروه جغرافیای طبیعی، دانشکده‌ی علوم زمین، دانشگاه شهید بهشتی، تهران.

تاریخ پذیرش: ۱۳۹۷/۱۱/۲۵ تاریخ دریافت: ۱۳۹۷/۳/۱۲

چکیده

فرساش بستر و کناره، تغییرات کanal رود و در نهایت آسیب‌پذیری کanal، مسئله‌ای اجتماعی، محیطی و اقتصادی است که اغلب خسارات جبران‌ناپذیری را به ساکنان و تأسیسات حاشیه‌ی رودخانه وارد می‌سازد. در این تحقیق به منظور پیش‌بینی و ارزیابی میزان پایداری و ناپایداری کناره و بستر و شناسایی مناطقی با ریسک بالای آسیب‌پذیری کanal در رودخانه‌ی مسیل موچان، بازه‌ای از این رودخانه در حد فاصل روستاهای قلعه تا سرسختی به طول تقریبی ۵/۶۵ کیلومتر انتخاب شد. پس از مشاهدات میدانی، ۸ مقطع در طول بازه‌ی مورد مطالعه انتخاب و نمونه‌برداری و اندازه‌گیری‌های موردنیاز صورت گرفت. با استفاده از داده‌های برداشت شده شامل مقدار دبی، تنش برشی مرزی و بحرانی، ضریب مانینگ، عرض کanal فعلی، عرض دره، محاسبه‌ی مساحت پهنه‌های حفاظت شده و قادر تولید رسوب در حوضه‌ی مورد مطالعه، محاسبه‌ی شبکه کanal، عرض کanal در دبی‌لبالی، عمق کanal در دبی‌لبالی، عرض دبی سیلان و مشخص کردن نوع رسوبات بستر، پارامترهای موردنیاز از جمله کلاس‌های خط‌فرساش کناره‌ای و فرسایش کanal در مدل رودخانه‌ای شوم، محاسبه و در نتیجه آسیب‌پذیری کanal در ۸ مقطع رودخانه‌ی مسیل موچان انجام شد. نتایج نشان داد که تمامی مقاطع این رودخانه در عرض آسیب‌پذیری متوسط تا زیاد قرار دارد؛ مقاطع ۱، ۲، ۳، ۴ و ۵ دارای ریسک آسیب‌پذیری متوسط است و مقاطع ۶، ۷ و ۸ ریسک آسیب‌پذیری بالای دارد. واژگان کلیدی: آسیب‌پذیری کanal، پایداری کanal، رودخانه‌ی مسیل موچان، فرسایش رودخانه.

۱- مقدمه

رودخانه‌ها از اشکال پویای چشم‌اندازهای طبیعی است که در زمینه‌ی تغییر در کنترل کننده‌های محیطی و دستکاری‌های انسانی در سیستم‌های طبیعی طی مقاطع زمانی و مکانی مختلف، تغییرات متفاوتی از خود نشان می‌دهند. ابعاد و گستره‌ی طولی این تغییرات در طول مسیر رودخانه‌ها، نحوه‌ی عکس‌العمل شاخاب‌ها به رخدادها، نوع تغییرات در مقطع بستر اصلی و نحوه‌ی تغییرات در سطوح شبکه‌ای حوضه از دیدگاه هیدرولوژیکی و ژئومورفولوژیکی، بسیار اهمیت دارد. تغییرات مجرای رودخانه، فرسایش بستر و کناره‌ی رودخانه، فرآیندهای طبیعی رودخانه‌های آبرفتی هستند که به تخریب زمین‌های کشاورزی اطراف و خسارت به تأسیسات انسانی اطراف رودخانه می‌انجامد. از سوی دیگر، توسعه‌ی فعالیت‌های انسانی مانند برداشت شن و ماسه، ایجاد ساخت و ساز در کنار رودخانه و تغییرات کاربری اراضی سبب تغییر در ماهیت دینامیک و مورفولوژی رودخانه می‌شود. فرسایش کناره‌ای، مسئله‌ای جدی برای هر سیستم

رودخانه‌ای است که می‌تواند ۹۰ درصد کل تولید رسوب را از کل بار رسوبی حوضه به خود اختصاص دهد (Wasson et al, 1998 & Prosser and Winchester, 1996 & Olley et al, 1993 & Wallbrink et al, 1998).

فرسایش کناره، یک مخاطره نیز محسوب می‌شود؛ زیرا می‌تواند به تلفات جانی و خسارت‌های مالی منجر شود. فعالیت‌های انسانی مانند تخریب پوشش گیاهی حوضه و برداشت بی‌رویه از آب رودخانه، به فشار بیشتر بر آن، از بین رفتن منطقه‌ی پوشیده از گیاه در کنار رودخانه و تغییر اکوسیستم آن منجر می‌شود. بنابراین فرسایش بستر و کناره، تغییرات کanal رود و در نهایت آسیب‌پذیری کanal^۱، مسئله‌ای اجتماعی، محیطی و اقتصادی است که اغلب خسارات جبران‌ناپذیری به ساکنان و تأسیسات حاشیه‌ی رودخانه وارد می‌سازد. در رودخانه‌ی مسیل موچان – که از نزدیکی روستای عمارت عبور می‌کند – چندین بازه‌ی فرسایش شدید کناره در آن رخ داده است.

فرسایش کناره که به آسیب‌پذیری کanal منجر می‌شود، حاصل فرآیندی است که نیروی فرسایشی آب (Bentrup and Hoag, 1998) و نیروی گرانشی را با یکدیگر ترکیب می‌کند. علاوه بر این عریض شدن کanal، ناپایداری کناره، تخریب زیستگاه‌های طبیعی حاشیه‌ی رود و بسیاری از واکنش‌های ژئومورفیک دیگر، روند فرسایش کناره را تسريع می‌کند (Arnold et al, 1982 & Hammer, 1972 & Booth, 1990 & Booth and Henshaw, 2001 & Jacobson et al, 2001).

با وجود اینکه پیش‌بینی موقعیت و میزان فرسایش و آسیب‌پذیری کناره‌ی رود امری مشکل به نظر می‌رسد، با این حال روش‌ها و مدل‌های مختلفی توسط محققین ارائه و اجرا شده است (Sandrs and David, 2000 & Bandyopadhyay et al, 2014).

در این میان برخی از روش‌های شناخته شده که به طور گسترده و در سطح جهان استفاده شده، در جدول ۱ ذکر شده است. بسیاری از این روش‌ها به کارهای میدانی بسیار یا تکنولوژی پیشرفته‌ای نیازمند است؛ از جمله روش‌های فرسایشی، محاسبه‌ی سرعت جریان در مجاور کناره، تنش برشی مرزی و غیره.

جدول ۱: خلاصه‌ی روش‌ها و مدل‌های موجود در زمینه‌ی برآورد فرسایش کناره

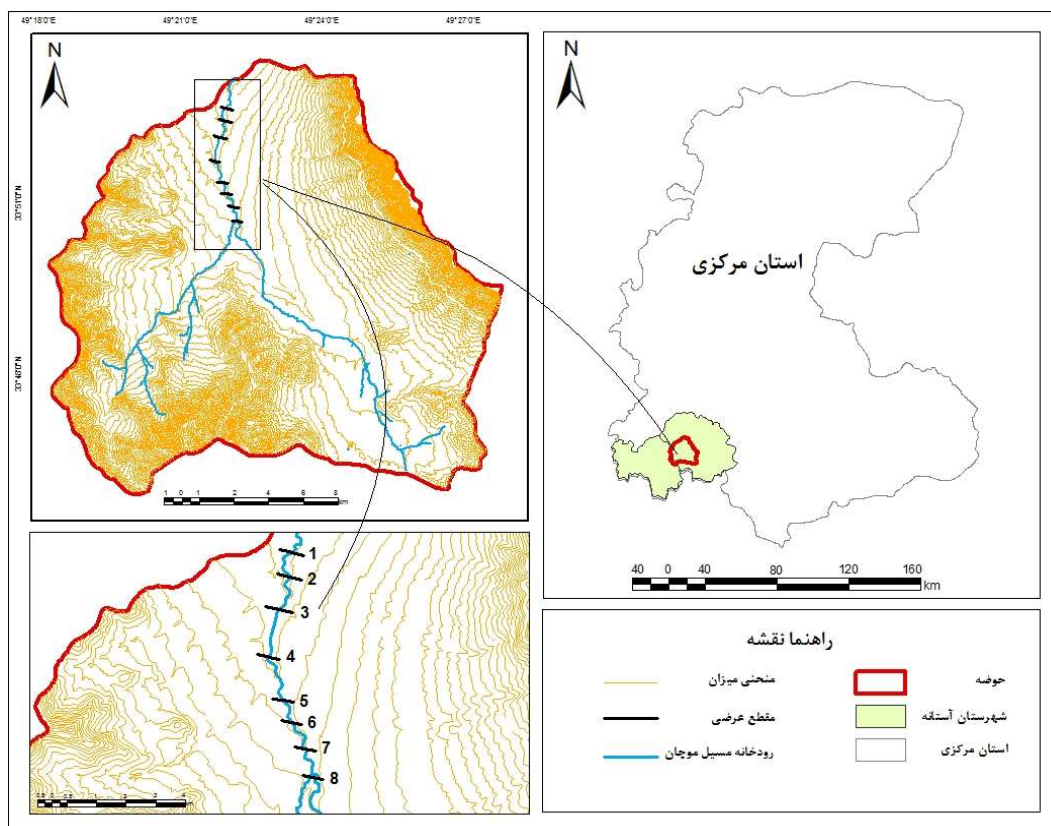
منابع	روش‌ها و مدل‌ها
Gilvear and Winterbottom, (1992) & Gilvear et al, (1994, 1999) & Gilvear and Winterbottom, (1998) & Haghabi and Imamgholizadeh (2016) & Yamani et al, (2016).	۱- مقایسه‌ی پلان رودخانه‌ها در زمان‌های مختلف و اندازه‌گیری تغییرات آنها.
Nagata et al, (2000) & Imanshoar et al, (2012) & Coryat, (2014) & Rezaei Moghadam et al, (2014).	۲- تحلیل عددی تغییرات بستر و کناره‌ی رودخانه و ارائه فرمول‌های جدید مرتبط با حمل رسوب و پاسخ کanal نسبت به فرآیندهای رودخانه‌ای.
Rosgen, (1996, 1999, 2001) & Nieber et al, (2008) & Simon and Kwan, (2014) & Simon et al, (2010) & Hoseinzadeh et al, (2006).	۳- ارزیابی ویژگی‌های کناره‌ی رود نسبت به پایداری کanal و شرایط جریان و تأثیر آن بر پایداری کanal و کاربرد آنها در پیش‌بینی نرخ سالانه‌ی پسروی کناره رود.

^۱ Channel vulnerability

(2018) Hoseinzadeh and Gholami در پژوهشی، به بررسی پایداری و ناپایداری کanal رودخانه‌ی مسیل موچان با استفاده از روش تنش‌برشی بحرانی و دبی واحد بحرانی پرداختند. به منظور بررسی ناپایداری کanal، ^۴ اندازه ذره با قطر D_{16} , D_{50} و D_{95} با استفاده از روش‌های تنش‌برشی بحرانی و دبی واحد بحرانی را محاسبه کردند. نتایج بدست آمده مشخص کرد که کanal رودخانه‌ی مسیل موچان در وضعیت ناپایداری قرار دارد. بررسی پژوهش‌های فوق نشان می‌دهد که فرسایش کناره‌ای و تشخیص ناپایداری یا ثبات کناره، یکی از مباحث مهم در سطح جهان و ایران است که به ابداع روش‌های مختلف منجر شده و در خصوص رودخانه‌های مختلف بررسی شده است. یکی از مدل‌های جدید در خصوص فرسایش کناره‌ای، مدل آسیب‌پذیری کanal است. مهم‌ترین ویژگی استفاده از این مدل در تشخیص وضعیت ناپایداری کanal مسیل موچان، نوآوری آن است و تاکنون از این مدل در هیچ یک از رودخانه‌های کشور استفاده نشده است.

۲- منطقه‌ی مورد مطالعه

منطقه‌ی مورد مطالعه بازه‌ای از رودخانه‌ی مسیل موچان به طول ۵/۶۵ کیلومتر است. این رودخانه از ارتفاعات شمال و شرق روستای عمارت سرچشمه می‌گیرد و به رودخانه‌ی شراء یکی از شاخه‌های اصلی رودخانه‌ی قره‌چای می‌پیوندد. رودخانه‌ی قره‌چای نیز یکی از رودخانه‌های حوضه‌ی مرکزی است که به دریاچه‌ی مسیله در قم متنه می‌شود. دبی متوسط رودخانه‌ی مسیل موچان، $۰/۲۳$ مترمکعب بر ثانیه و دبی رسوب آن، $۰/۷۶$ مترمکعب در روز است. از آب این رودخانه برای آبیاری زمین‌های کشاورزی روستاهای عمارت، بازنه، قلعه و هفته استفاده می‌شود. رودخانه‌ی مسیل موچان با موقعیت جغرافیایی ۴۹° درجه، ۲۲ دقیقه و ۵ ثانیه طول شرقی و ۳۳° درجه، ۵۲ دقیقه و ۵۳ ثانیه عرض شمالی، در محدوده‌ی سیاسی شهرستان آستانه در استان مرکزی واقع شده است (Gholami, 2018). متوسط بارندگی سالانه براساس داده‌های ایستگاه عمارت (نزدیک ترین ایستگاه به منطقه مورد مطالعه)، $۵۱۱/۲$ میلی‌متر و میانگین دمای سالانه‌ی آن $۱۴/۳۴$ درجه‌ی سانتیگراد است (شکل ۱).



شکل ۱: محدوده‌ی مورد مطالعه در استان مرکزی

۳- مواد و روش

در این پژوهش از مدل آسیب‌پذیری کanal برای بررسی مقدار فرسایش‌پذیری آن در رودخانه‌ی مسیل موچان آستانه استفاده شده است. بدین منظور ۸ مقطع عرضی در بازه‌ای به طول ۵/۶۵ کیلومتر حد بین روستاهای قلعه و سرختنی انتخاب شد. این مدل توسط بخش مهندسی رودخانه سازمان دفاع آمریکا تهیه شده و هدف آن، محاسبه‌ی نسبت فرسایش‌پذیری و آسیب‌پذیری کanal به صورت کمی و کیفی است. در واقع با استفاده از این مدل مشخص می‌شود که کanal رودخانه در هر مقطع، در چه کلاسی از فرسایش قرار می‌گیرد. مدل آسیب‌پذیری کanal با تقسیم میانگین تنش برشی مرزی (نیروهای فرسایش‌دهنده) و تنش برشی محاسبه شده برای کanal در هر مقطع از رودخانه، نسبت فرسایش‌پذیری آنها را هم به صورت کمی و هم کیفی محاسبه می‌کند و براساس آن، میزان آسیب‌پذیری کanal تعیین می‌شود. داده‌ها و روابط مورد استفاده برای مدل آسیب‌پذیری در چهار مرحله و براساس واحد فوت تهیه می‌شود (در هر مرحله می‌توان واحدها را تبدیل کرد).

مرحله‌ی اول: داده‌های مورد نیاز برای مرحله‌ی اول به شرح ذیل است:

- ۱- محاسبه‌ی مقدار دبی: برای محاسبه‌ی مقدار دبی با دوره بازگشت‌های ۲ ساله، (Q_2) رودخانه براساس میانگین دبی‌های ماهانه و با استفاده از نرم‌افزار اسمادا محاسبه و مناسب‌ترین تابع توزیع با استفاده از مجموع مربع خطای (رابطه‌ی ۱) مشخص شد.

$$RSS = \sqrt{\frac{\sum Q_E - Q_m}{N - M}}$$

رابطه‌ی ۱

که در آن Q_E : داده‌ی پیش‌بینی شده، M : داده‌های واقعی، N : تعداد پارامترهای تابع توزیع و Q_m : تعداد کل داده‌ها است. هر تابعی که مقدار آن براساس رابطه‌ی ۱، کمتر از سایر توابع شد به عنوان تابع توزیع مناسب انتخاب می‌شود.

۲- **تنش برشی مرزی و بحرانی:** نیروی فرسایشی ایجاد شده به وسیله‌ی جریان رود را می‌توان با تنشن‌های مرزی محاسبه کرد. تنش برشی مرزی (T)، شروع حرکت ذرات رسوبی را به وسیله‌ی جریان آب در بستر رود نشان می‌دهد (Hoseinzadeh et al, 2012) و با استفاده از رابطه‌ی ۲ محاسبه می‌شود.

$$\tau = \rho_w g RS$$

رابطه‌ی ۲

براساس این رابطه T : تنش برشی مرزی (Ib/Ft^2), ρ_w : وزن مخصوص آب بر حسب پوند بر فوت مکعب (Ib)/ Ft^2 , R : شتاب ثقل (32.1740 ft/s^2), g : شاعع هیدرولیک به فوت (Ft) و S : شیب بستر بر حسب فوت بر فوت (Ft) است.

همچنین لازم است تنش برشی بحرانی برای حرکت یک ذره‌ی مشخص محاسبه شود. در مدل آسیب‌پذیری کanal با استفاده از نوع رسوبات و D_{50} هر مقطع، تنش برشی بحرانی موردنیاز برای حرکت ذرات در مقاطع موردنظر با استفاده از رابطه‌ی ۳ محاسبه می‌شود.

در این رابطه T_d : تنش برشی بحرانی (Ib/Ft^2), d : اندازه‌ی ذرات رسوبی بستر (این عدد نشان‌دهنده‌ی قطر D_{50} رسوبات است؛ یعنی ۵۰ درصد رسوبات از این مقدار بزرگ‌تر یا کوچک‌ترند). ρ : چگالی رسوب است که تقریباً ۲۶۵ کیلوگرم در متر مکعب است، θ : یک مقدار که تابع شکل ذره، ویژگی‌های سیال و آرایش ذرات سطح است. مقدار ثابت بی‌بعد θ ابتدا توسط یک مهندس آمریکایی به نام شیلدز در سال ۱۹۳۶ ارائه شد و او عدد ۰.۵۶ را پیشنهاد کرد (Gordon et al, 2004).

۳- **ضریب مانینگ (n):** مقدار ضریب مانینگ به شدت متغیر است و به فاکتورهای متعددی بستگی دارد که عبارتند از: ناهمواری‌های سطحی، پوشش گیاهی، ناهمواری‌های کanal، مسیر کanal، فرسایش و رسوب‌گذاری، موانع رسوبی، اندازه و شکل کanal، تغییرات سطح آب و دبی، تغییرات فصلی و بار رسوبی معلق و بستری. از این رو، kwan (2014) روشی را برای تخمین مقدار ضریب مانینگ ارائه کرد. در این روش غیر از اندازه‌ی ذرات در ناهمواری بستر، شاخص‌های دیگری هم به عنوان مؤلفه‌های تخمین ضریب زیری مانینگ قابل توجه قرار گرفته‌است (Hoseinzadeh et al, 2012).

۴- **عرض کanal فعل:** بخشی از کanal در مقطع عرضی است که به طور پیوسته تحت تأثیر جریان آب رودخانه قرار دارد. برای محاسبه‌ی این پارامتر لازم است نیمرخ عرضی کanal از طریق برداشت زمینی، تهیه و بر اساس نیمرخ عرضی کanal محاسبه شود.

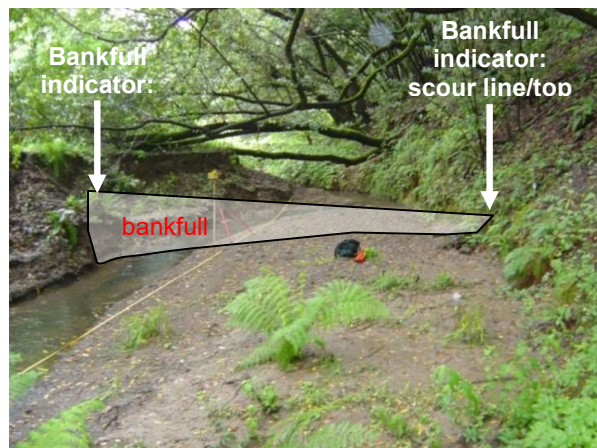
۵- **عرض دره:** فاصله‌ی بین انتهای دشت‌های سیلابی در دو طرف مقاطع عرضی رودخانه بیانگر عرض کanal است که بر اساس نیمرخ عرضی ترسیم شده محاسبه می‌شود.

۶- محاسبه‌ی مساحت پهنه‌های حفاظت شده و فاقد تولید رسوب در حوضه‌ی مورد مطالعه: در مدل آسیب‌پذیری کanal، منطقه‌ی حفاظت شده و فاقد رسوب به مناطقی از منطقه‌ی مورد مطالعه اطلاق می‌شود که در آنجا کارهای حفاظتی خاصی برای کاهش برداشت رسوب رودخانه یا مناطق مسکونی و غیره صورت گرفته است. برای محاسبه‌ی این پارامتر با استفاده از مشاهدات میدانی، نقشه‌ی توپوگرافی ۱:۲۵۰۰۰ و نرم‌افزار گوگل ارث محدوده‌ی تمامی مناطق حفاظت شده، مشخص و با استفاده از سیستم اطلاعات جغرافیایی، مساحت آن بر اساس آکر (معادل ۷۴۰۴ مترمربع) محاسبه شد.

۷- محاسبه‌ی شبکه کanal: شبکه کanal برابر است با نسبت فاصله‌ی افقی به فاصله‌ی عمودی. بدین منظور ۲ نقطه در پایین دست و بالا دست کanal در مقطع مورد مطالعه با فاصله‌ی مشخص (معمولًاً ۱۰ متر) انتخاب می‌شود و با استفاده از شاخص و متریالیزی فاصله‌ی افقی و اختلاف ارتفاع آنها بدست می‌آید. در ادامه، میزان شبکه بر اساس اختلاف ارتفاع به فاصله‌ی افقی محاسبه شد.

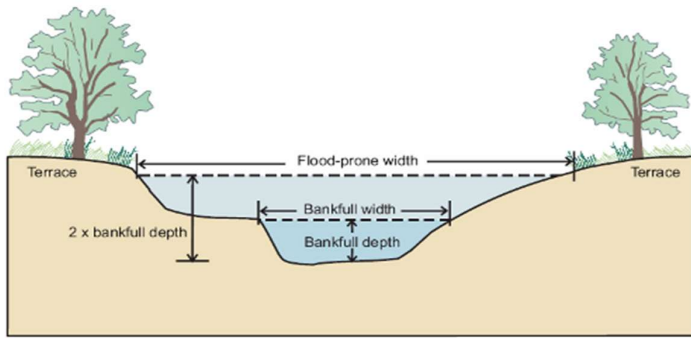
۸- محاسبه‌ی عرض کanal در دبی لبالبی: این پارامتر، فاصله‌ی بین دبی لبالبی کناره‌ی سمت راست و چپ رودخانه است که با استفاده از متر اندازه‌گیری می‌شود و عرض کanal در دبی لبالبی به دست می‌آید. همچنین با مشخص کردن عمق دبی لبالبی بر نیمرخ عرضی ترسیم شده، می‌توان عرض کanal در دبی لبالبی را اندازه‌گیری کرد.

۹- محاسبه‌ی عمق کanal در دبی لبالبی: با توجه به آثار کناره‌ی رودخانه از جمله زیربری رودخانه، تغییرات جنس در کرانه، آثار خزه‌ها و گلسنگ‌ها، تغییرات رنگ سنگ‌ها و در محل‌هایی که دشت سیلابی وجود دارد، لبه‌ی دشت سیلابی دبی لبالبی یا عمق دبی لبالبی مشخص می‌شود که این مقطع را می‌توان با استفاده از متر اندازه‌گیری کرد (شکل ۲).



شکل ۲: محاسبه‌ی عمق دبی لبالبی.

۱۰- عرض دبی سیلاب: به پهنه‌ای از کanal اطلاق می‌شود که در معرض سیلاب قرار می‌گیرد. مقدار این پارامتر، براساس عرض کanal در دو برابر عمق دبی لبالبی به دست می‌آید (شکل ۳).



شکل ۳: محاسبه‌ی عرض دبی سیلان.

مرحله‌ی دوم:

داده‌های موردنیاز برای مرحله‌ی دوم مدل آسیب‌پذیری کanal به شرح ذیل است که برای تدارک داده‌ها در این مرحله، از مشاهدات میدانی و روابط طراحی شده‌ی موجود در مدل استفاده می‌شود:

- ۱- **مشخص کردن نوع رسوبات بستر:** براساس دسته‌بندی که در مدل آسیب‌پذیری وجود دارد، نوع رسوبات به سه دسته‌ی کلی رسوبات (الف) غیر چسبنده، (ب) رسوبات چسبنده و (ج) سنگ بستری تقسیم می‌شود که پس از مشاهدات میدانی، نوع رسوبات هر مقطع مشخص و در مدل وارد می‌شود.
- ۲- **تعیین کلاس فرسایش کناره‌ای:** در این مدل، کلاس‌های فرسایش کناره‌ای به سه کلاس فرسایش کم، فرسایش متوسط و فرسایش زیاد تقسیم‌بندی می‌شود. براساس بازدیدهای میدانی و مقایسه‌ی آن با شکل‌های ۵ (الف، ب و ج)، کلاس فرسایش کناره‌ی مقاطع مورد مطالعه، تشخیص و نوع کلاس آن در مدل آسیب‌پذیری وارد شد.



(ب)

(الف)

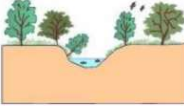
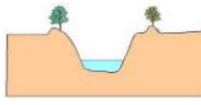
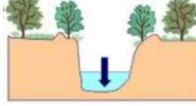


(ج)

شکل ۴: (الف) کلاس‌های فرسایش کانال در مدل رودخانه‌ای شوم، (ب) کلاس فرسایش کناره‌ای متوسط و (ج) کلاس فرسایش کناره‌ای زیاد.

۳- تعیین کلاس‌های فرسایش کانال در مدل رودخانه‌ای شوم: براساس مدل رودخانه‌ای شوم، رودخانه‌ها به شش کلاس طبقه‌بندی می‌شوند. نوع کلاس فرسایش کانال رودخانه با استفاده از مشاهدات میدانی، ترسیم نیمرخ عرضی و مقایسه‌ی آن با کلاس‌های رودخانه شوم در هر مقطع از رودخانه مشخص شد. سپس شماره‌ی کلاس فرسایش در مدل آسیب‌پذیری وارد شد. کلاس‌های فرسایش کانال در مدل رودخانه شوم به شرح جدول ۲ است.

جدول ۲: کلاس‌های فرسایش کanal در مدل رودخانه‌ای شوم

شماره	کلاس فرسایش کanal شوم	تعریف کلاس فرسایش کanal شوم	شکل کلاس فرسایش کanal شوم
۱	کanal طبیعی	کanal همراه و متصل به دشت سیلابی است و کناره‌های با عمق کم و تنوع پوشش گیاهی و زیستگاه دارد.	
۲	کanal دستکاری شده	جريان‌های کanalی شده از طریق ساخت خاکریز، حذف پوشش گیاهی و مستقیم کردن کanal است که به افزایش شب و سرعت جریان منجر شده است.	
۳	کanal در حال عمیق شدن (دارای حفر)	کanal در پاسخ به کanalیزه شدن، بستر خود را حفر می‌کند و انرژی مازاد، صرف فرسایش بستر می‌شود.	
۴	کanal در حال عریض و عمیق شدن	در نتیجه‌ی عمیق شدن، زاویه و ارتفاع کناره کanal افزایش می‌یابد و به سقوط و ریزش کناره و تعویض کanal منجر می‌شود.	
۵	کanal در حال عریض و فراسازی شدن (ابراحت آبرفت)	کanal تعریض شده قادر نیست تمام مواد ناشی از ریزش کناره کanal را جابجا کند. در نتیجه مواد مازاد در پای دشت سیلابی پیشین، تراس‌های کوچک را ایجاد می‌کند.	
۶	کanal دارای تعادل دینامیکی جدید	در کanal، تراس‌ها و دشت سیلابی جدید ایجاد می‌شود. در کanal پیچانزروی جدید با دشت سیلابی جدید، سیستم رودخانه‌ای جدیدی ایجاد می‌شود.	

با توجه به نوع کلاس فرسایش کanal شوم و فرسایش کناره‌ای، میزان خطر فرسایش در هر دو کلاس متفاوت است.

مرحله‌ی سوم:

در مرحله‌ی سوم با استفاده از داده‌های تهیه شده، نسبت‌ها و کلاس‌های پارامترهای مؤثر، میزان آسیب‌پذیری کanal در تمامی مقاطع رودخانه محاسبه می‌شود. در ابتدا نسبت هر پارامتر محاسبه، سپس براساس آن میزان خطر و کلاس آن پارامتر در شدت آسیب‌پذیری کanal در هر مقطع مشخص می‌شود.

نسبت‌ها و کلاس‌های مؤثر در میزان آسیب‌پذیری کanal به شرح زیر است:

۱- خطر فرسایش‌پذیری کanal: این پارامتر مقدار فرسایش‌پذیری را در مقاطع مختلف مشخص می‌کند. بر اساس آن، می‌توان

میزان مستعد بودن هر کanal برای فرسایش‌پذیری را مشخص کرد. این پارامتر با استفاده از رابطه‌ی ۴ محاسبه می‌شود:

$$A = \frac{\tau}{\tau_0} \quad \text{رابطه‌ی ۴}$$

A: نسبت فرسایش‌پذیری، T : تنش برشی مرزی (Ib/Ft^2), T_0 : تنش برشی بحرانی (Ib/Ft^2).
بر اساس نسبت آسیب‌پذیری کانال (رابطه‌ی ۴)، خطر فرسایش‌پذیری آن در دو سطح متوسط و زیاد مشخص می‌شود (جدول (۳)).

جدول ۳: خطر فرسایش‌پذیری کانال

بالا	متوسط	خطر فرسایش‌پذیری کانال
کمتر از ۱	بیش از ۱	

۲- خطر محدود بودن کانال: این پارامتر، میزان محدود بودن کانال را مشخص می‌کند. محدود بودن کانال شاخصی برای تعیین پهنه‌ی دشت سیلابی است. این پارامتر با استفاده از رابطه‌ی ۵ محاسبه می‌شود:

$$C = \frac{D}{W} \quad \text{رابطه‌ی ۵}$$

C: مقدار محدود بودن کانال، D: عرض دره (Ft), W: عرض کانال در دبی لبالبی (Ft). خطر محدود بودن کانال بر اساس مقادیر نسبت محدود بودن کانال ($\text{IF(K32>3.99,"Medium","High")}$) در دو سطح متوسط و زیاد مشخص می‌شود (جدول ۴).

جدول ۴: خطر محدود بودن کانال

بالا	متوسط	خطر محدود بودن کانال
کمتر از ۳/۹۹	بیش از ۳/۹۹	

مرحله‌ی چهارم:

در پایان بر اساس نسبت خطر فرسایش‌پذیری هر مقطع به خطر حفر بستر، می‌توان میزان استعداد آسیب‌پذیری هر مقطع از رودخانه را تعیین کرد (جدول ۵).

جدول ۵: خطر آسیب‌پذیری کانال

خطر آسیب‌پذیری	متوسط	متوسط
خطر فرسایش‌پذیری کانال	متوسط	متوسط
خطر حفر بستر	متوسط	متوسط
خطر فرسایش‌پذیری کانال	متوسط	زیاد
خطر حفر بستر	زیاد	زیاد
خطر فرسایش‌پذیری کانال	زیاد	زیاد
خطر حفر بستر	متوسط	متوسط

۴- یافته‌ها (نتایج)

در این پژوهش از مدل آسیب‌پذیری کanal برای بررسی و تعیین ناپایداری و میزان آسیب‌پذیری کanal در رودخانه‌ی مسیل موچان آستانه استفاده شد. براساس داده‌های میدانی و پارامترهای مؤثر در کanal، تنش برشی و نیروهای فرسایش‌دهنده‌ی کanal رودخانه محاسبه و در پایان، وضعیت آسیب‌پذیری مجرای رودخانه مشخص شد (جدول ۶، ۷ و ۸).

جدول ۶: پارامترهای اندازه‌گیری شده در مقطع‌های رودخانه‌ی مسیل موچان

شماره قطع	لبالی عمق دیم ft	n مانینگ	های حفاظت شده و فاقد پهنه ac	لبالی دیم cfs	کلاس فرسایش (Q ₂) cfs	کلاس فرسایش در مدل شوم	فرسایش کناره متوجه
۱	۲/۹۵	۰/۰۵۹	۳۱۰/۴۸	۳۱/۸۷	۱۷/۳	۱	متوجه
۲	۰/۸۶	۰/۰۸۱	۳۱۰/۴۸	۷/۴۱	۱۷/۳	۱	متوجه
۳	۴	۰/۰۹۳	۳۱۰/۴۸	۴۳/۰۸	۱۷/۳	۱	متوجه
۴	۳/۴۷	۰/۰۷۳	۳۱۰/۴۸	۴۰/۲۵	۱۷/۳	۱	متوجه
۵	۲/۴۹	۰/۰۴۵	۳۱۰/۴۸	۲۶/۸۳	۱۷/۳	۳	زیاد
۶	۰/۹۵	۰/۰۸۴	۳۱۰/۴۸	۱۰/۲۴	۱۷/۳	۵	متوجه
۷	۲/۷۵	۰/۰۸۹	۳۱۰/۴۸	۲۹/۶۶	۱۷/۳	۱	متوجه
۸	۴/۳۳	۰/۰۹	۳۱۰/۴۸	۴۶/۶۱	۱۷/۳	۱	متوجه

جدول ۷: پارامترهای اندازه‌گیری شده در مقطع‌های رودخانه‌ی مسیل موچان

شماره قطع	m/m	شیب کanal	عرض کanal در دیم ft	اندازه متوسط رسوب	لبالی عرض کanal در دیم ft	عرض کanal فعل D ₅₀ mm	عرض دره ft
۱	۰/۰۱۹	۳/۲	۳/۸	۲۲	۵۶/۴۶	۴/۷	۴/۷
۲	۰/۰۰۵	۴/۳	۴/۴	۲۵	۵۴/۲۶	۷/۷	۷/۷
۳	۰/۰۰۵	۳/۷	۹/۳	۲۸	۳۸/۱۲	۱۰/۴	۹/۷
۴	۰/۰۱	۴/۴	۶/۹	۲۳	۲۸/۵۴	۹/۷	۹/۷
۵	۰/۰۵	۱/۴۷	۲/۶	۲۵	۳۷/۷۲	۶/۱	۶/۱
۶	۰/۰۳۶	۷/۵	۸/۶	۲۵	۳۶/۳۱	۱۲/۵	۱۲/۵
۷	۰/۰۶	۴/۴۹	۶/۱	۴۹	۴۷/۵۳	۹/۲	۹/۲
۸	۰/۰۱۸	۵/۱۸	۶/۷	۴۰	۳۹/۱	۱۰/۲	۱۰/۲

جدول ۸: نیروها و شاخص‌های تعیین‌کننده‌ی فرسایش کanal در مقطع‌های رودخانه‌ی مسیل موچان

شماره قطعه	نشانی بر حسب Ib/ft ²	شیب کناره	شیب کناره	شیب کناره	محیط خیس	نشانی بر حسب Ib/ft ²	نسبت مرزی	نشانی بر حسب Ft/sec	سرعت جریان در دی لبالی
		چ	چ	چ	چ				
۱	۰/۳۵	۵۷/۳	۱۵/۴	۹/۱	۱/۱	۱/۳۴	۱۴/۳	۱۴/۳	۲/۸
۲	۰/۴	۲۱/۴	۱۴/۳	۵/۷	۰/۵	۰/۱۶	۱۲/۳	۱۲/۳	۰/۸
۳	۰/۴۶	۳۴/۶	۲۴/۲	۱۳/۵	۱/۹	۰/۶	۴/۱	۴/۱	۱/۸
۴	۰/۳۷	۳۲/۵	۱۰/۱	۱۱/۸	۱/۷	۱/۰۴	۴/۱	۴/۱	۳/۱
۵	۰/۴۱	۴۵/۹	۵۲/۱	۶/۶	۰/۸	۲/۴	۱۴/۵	۱۴/۵	۵/۱
۶	۱۲/۵	۱۱/۴	۲۵/۱	۹/۷	۰/۸	۱/۷۷	۴/۲	۴/۲	۴/۳
۷	۱۲/۱	۶۲/۵	۳۰/۷	۳۴/۹	۱	۳/۸۴	۷/۸	۷/۸	۴/۲
۸	۱۲/۵	۲۸/۳	۲۲/۵	۱۴	۱/۸	۲/۰۷	۵/۸	۵/۸	۳/۳

براساس داده‌ی جدول‌های ۶ و ۷ نسبت و خطر آسیب‌پذیری، میزان حفر بستر کanal، مقدار و خطر فرسایش‌پذیری در هر مقطع از رودخانه‌ی مسیل موچان محاسبه و مقادیر آن در جدول ۱۰ نشان داده شد.

جدول ۹: کلاس‌های خطر فرسایش بر اساس پارامترهای محاسبه شده

شماره قطعه	کلاس فرسایش ششم	کلاس فرسایش پنجم	کلاس فرسایش چهارم	کلاس فرسایش سوم	کلاس فرسایش دوم	کلاس فرسایش اول	خطر فرسایش کناره	خطر فرسایش کanal	خطر فرسایش عرض به	خطر فرسایش	نسبت عرض به	نسبت عرض به	خطر فرسایش	نسبت عرض به	خطر فرسایش	نسبت عرض به	خطر فرسایش	نسبت عرض به	
۱	۱	۱	متوسط	متوسط	متوسط	متوسط	بالا	بالا	بالا	بالا	بالا	بالا	بالا	بالا	بالا	بالا	بالا	بالا	
۲	۱	۲	متوسط	متوسط	متوسط	متوسط	بالا	بالا	بالا	بالا	بالا	بالا	بالا	بالا	بالا	بالا	بالا	بالا	
۳	۱	۳	متوسط	متوسط	متوسط	متوسط	بالا	بالا	بالا	بالا	بالا	بالا	بالا	بالا	بالا	بالا	بالا	بالا	
۴	۱	۴	متوسط	متوسط	متوسط	متوسط	بالا	بالا	بالا	بالا	بالا	بالا	بالا	بالا	بالا	بالا	بالا	بالا	
۵	۳	۵	بالا	بالا	بالا	بالا	بالا	بالا	بالا	بالا	بالا	بالا	بالا	بالا	بالا	بالا	بالا	بالا	
۶	۵	۶	متوسط	متوسط	متوسط	متوسط	بالا	بالا	بالا	بالا	بالا	بالا	بالا	بالا	بالا	بالا	بالا	بالا	
۷	۱	۷	متوسط	متوسط	متوسط	متوسط	بالا	بالا	بالا	بالا	بالا	بالا	بالا	بالا	بالا	بالا	بالا	بالا	
۸	۱	۸	متوسط	متوسط	متوسط	متوسط	بالا	بالا	بالا	بالا	بالا	بالا	بالا	بالا	بالا	بالا	بالا	بالا	

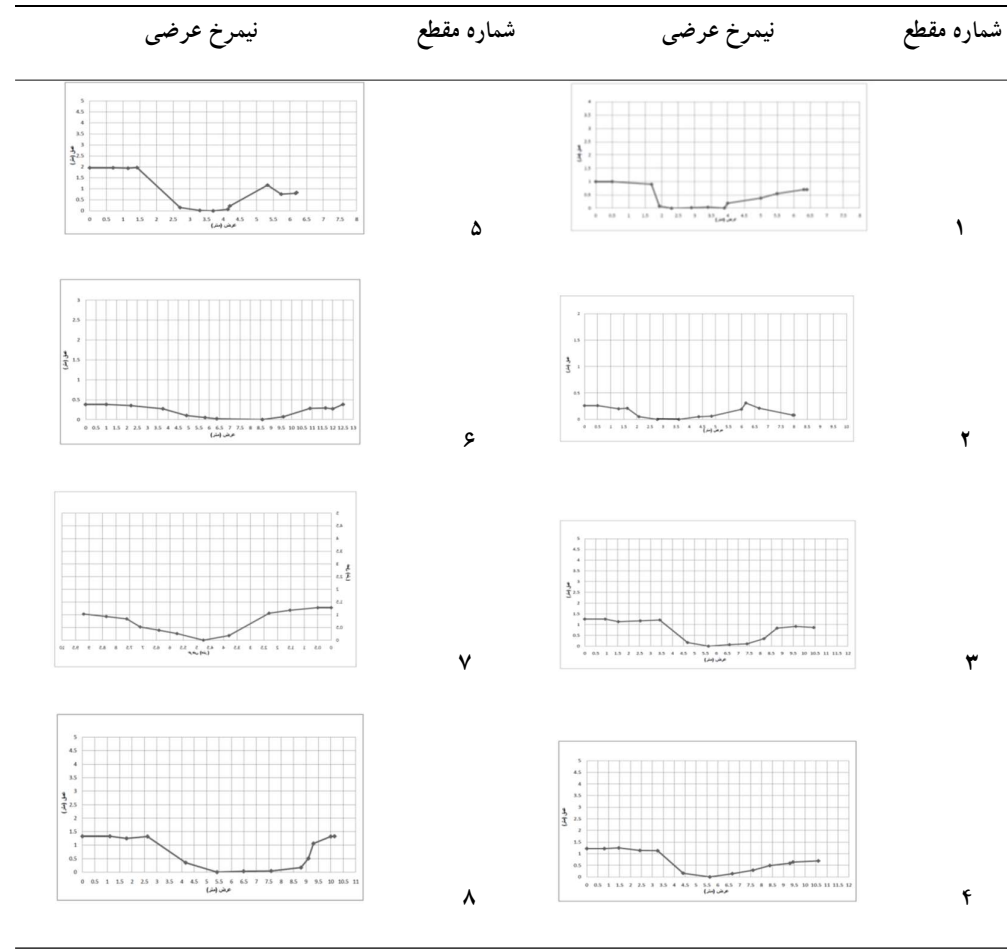
جدول ۱۰: مقادیر آسیب‌پذیری محاسبه شده برای رودخانه‌ی مسیل موچان در مقطع‌های مورد بررسی

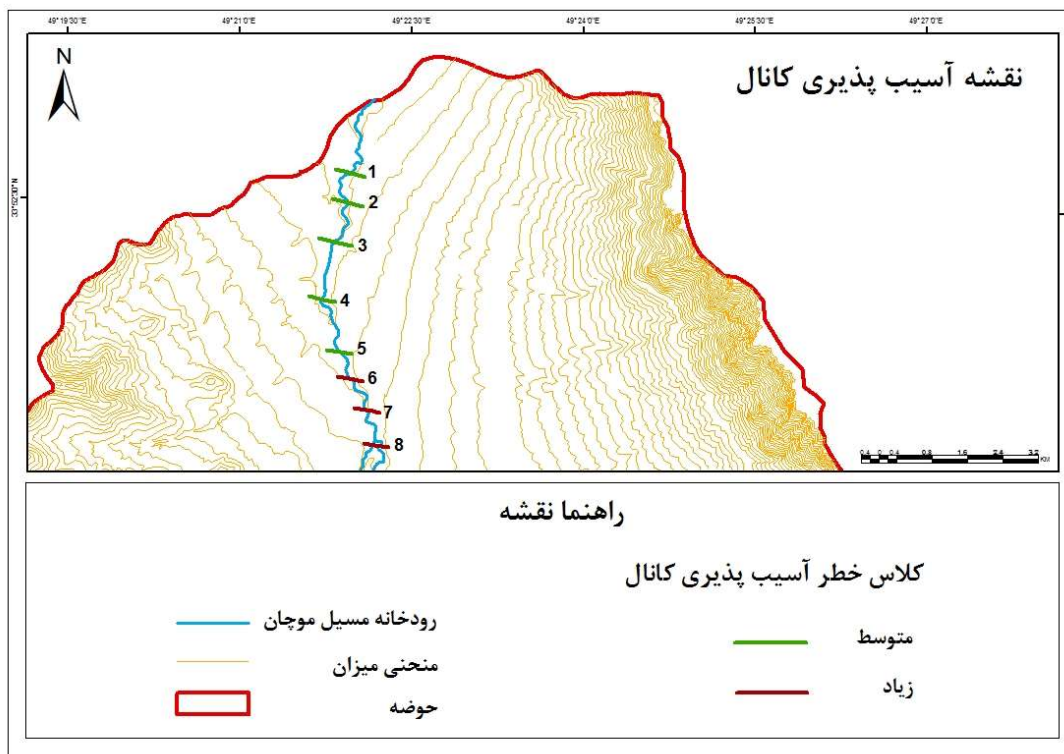
کanal*	کanal	میزان حفر بستر	پذیری خطر فرسایش	پذیری مقدار فرسایش	شماره مقطع
متوجه	متوجه	متوجه	متوجه	متوجه	۱
متوجه	متوجه	متوجه	متوجه	متوجه	۲
متوجه	متوجه	متوجه	متوجه	متوجه	۳
متوجه	متوجه	متوجه	متوجه	متوجه	۴
متوجه	متوجه	متوجه	متوجه	متوجه	۵
زیاد	متوجه	زیاد	زیاد	زیاد	۶
زیاد	متوجه	زیاد	زیاد	زیاد	۷
زیاد	متوجه	زیاد	زیاد	زیاد	۸

* = مستعد فرسایش کم، ۱ = مستعد فرسایش زیاد.

آسیب‌پذیری کanal در ۸ مقطع رودخانه‌ی مسیل موچان (جدول ۱۱)، با استفاده از پارامترهای جدول ۸ انجام گرفته که نتایج یافته‌ها به شرح ذیل است. همچنین براساس محاسبات مشخص شد که تمامی مقاطع رودخانه‌ی مسیل موچان در معرض آسیب‌پذیری متوسط تا زیاد قرار دارد؛ مقاطع ۱، ۲، ۳، ۴ و ۵ دارای ریسک آسیب‌پذیر متوسط و مقاطع ۶، ۷ و ۸ نیز ریسک آسیب‌پذیری بالایی دارد (شکل ۵).

جدول ۱۱: نیميخ عرضی مقاطع رودخانه‌ی مسیل موچان





شکل ۵: نقشه‌ی آسیب‌پذیری مقاطع رودخانه‌ی مسیل موچان

مقطع ۱: در این مقطع از رودخانه، تفاوت بین عرض کanal فعال و عرض کanal در دیلبالی بسیار اندک است. در مقطع ۱ با توجه به بالا بودن شیب بستر، افزایش سرعت جریان مشاهده می‌شود. همچنین بالاتر بودن تنش برشی مرزی نسبت به تنش برشی بحرانی سبب شده است که در حالت تنش برشی بحرانی، رسوبات به آستانه‌ی موردنیاز برای شروع حرکت خود نرسند، اما بالا بودن مقدار دیلبالی و شیب کanal به جایه‌جایی ذرات منجر شده است. بالا بودن تقریبی محیط خیس در این مقطع، عریض‌تر شدن عرض کanal را نشان می‌دهد که براساس اصل پیوستگی جریان به کاهش سرعت و قدرت جریان منجر می‌شود. از جنبه‌ی دیگر، کم بودن مقدار شعاع هیدرولیک نیز یانگر کاهش قدرت فرسایش‌پذیری کanal در این مقطع است. در صورت وقوع دیلبالی، کناره‌ی سمت چپ کanal به دلیل داشتن شیب بیشتر نسبت به کناره‌ی سمت راست، در عرض آسیب‌پذیری بالاتری قرار دارد (جدول ۷ و ۸). براساس کلاس فرسایش کanal رودخانه‌ی شوم، در کلاس کanal طبیعی (کلاس ۱) و کلاس فرسایش کناره‌ای در حد متوسط است؛ بنابراین، از نظر ریسک فرسایش کناره‌ای بالا و ریسک فرسایش کلاس شوم در حد متوسط است (جدول ۹). کanal در این مقطع از رودخانه، از نظر محدود شدگی دارای ریسک بالای فرسایش است؛ زیرا هر چه میزان دشت سیلابی یک کanal کمتر باشد به محدود شدن بیشتر کanal و در نتیجه ریسک بالای فرسایش‌پذیری منجر می‌شود. از جنبه‌ی دیگر، کم بودن نسبت عرض به عمق کanal در مقطع شماره‌ی ۱ سبب شده است که در خطر فرسایش بالا قرار گیرد. در نتیجه این مقطع از رودخانه‌ی مسیل موچان، از نظر خطر آسیب‌پذیری و فرسایش در رده‌ی متوسط قرار دارد (جدول ۱۰ و ۱۱).

شکل ۵.

مقطع ۲: در این مقطع، تفاوت بین عرض کanal فعال و عرض کanal در دبی‌لبالی بسیار اندک است. این مقطع، تنش برشی بحرانی بالاتری نسبت به تنش برشی مرزی دارد که همین امر، زمینه‌ی مساعدی را برای جابه‌جایی رسوبات و افزایش فرسایش فراهم می‌کند. در مقطع ۲ به دلیل بالا بودن محیط خیس و پایین بودن مقدار شعاع هیدرولیک، مقاومت بیشتری در برابر عوامل فرسایشی دارد و براساس کلاس فرسایش کanal رودخانه‌ی شوم، در کلاس کanal طبیعی (کلاس ۱) و کلاس فرسایش کناره متوسط قرار می‌گیرد؛ بنابراین، از نظر ریسک فرسایش کناره‌ای بالا و ریسک فرسایش کلاس شوم، در حد متوسط است.علاوه بر موارد فوق، این مقطع دارای نسبت عرض به عمق کمتر از ۱۱/۹ است که همین عامل سبب شده از نظر خطر در حد بالا قرار داشته باشد. این مقطع، نسبت محدودشدن گی ۱/۸ دارد که خطر فرسایش آن بالا است. با توجه به موارد فوق، میزان ریسک آسیب‌پذیری در مقطع ۲ در حد متوسط است که بیشترین میزان آسیب‌پذیری در کناره‌ی سمت چپ کanal اتفاق می‌افتد (جدول ۱۰ و ۱۱ و شکل ۵).

مقطع ۳: تفاوت بین عرض کanal فعال و عرض کanal در دبی‌لبالی زیاد است که این امر، تفاوت بین جریان در حالت عادی و دبی‌لبالی را نشان می‌دهد. این مقطع، میزان تنش برشی مرزی بالاتری نسبت به تنش برشی بحرانی دارد. از طرف دیگر، در این مقطع عمق دبی‌لبالی افزایش می‌یابد. علاوه بر موارد فوق، بیشتر بودن مقدار شعاع هیدرولیک نسبت به مقطع ۲، امکان فرسایش بیشتر را در این مقطع فراهم می‌کند. از سوی دیگر، بالا بودن مقدار محیط خیس و در در نتیجه عریض‌تر شدن کanal در این مقطع، تا حدی از قدرت فرسایندگی جریان می‌کاهد. همانند دو مقطع قبلی، بیشترین میزان فرسایش در کناره‌ی سمت چپ رخ می‌دهد (جدول ۸ و ۷). این مقطع در کلاس کanal طبیعی (کلاس ۱) و کلاس فرسایش کناره متوسط قرار می‌گیرد، ولی از نظر ریسک آسیب‌پذیری به ترتیب در رده‌ی متوسط و بالا قرار دارد. همچنین میزان ریسک کanal این مقطع از رودخانه از نظر محدود بودن کanal و نسبت عرض به عمق، در رده‌ی بالا قرار دارد. براساس نتایج به دست آمده از جدول‌های ۹، ۱۰، ۱۱ و شکل ۵ مشخص شد که این مقطع از نظر ریسک آسیب‌پذیری در رده‌ی متوسط قرار گرفته است.

مقطع ۴: در این مقطع از رودخانه، شب بستر و عرض کanal فعال نسبت به مقطع ۳ افزایش شیب بستر، سرعت جریان و شعاع هیدرولیک سبب شده است که با وجود کمتر بودن تنش برشی بحرانی از میزان تنش برشی مرزی، قدرت فرسایش دهنده‌ی جریان افزایش یابد و کanal در معرض فرسایش بیشتری قرار گیرد که بیشترین میزان آسیب‌پذیری در کناره‌ی سمت چپ اتفاق می‌افتد. از طرف دیگر، بالا بودن مقدار محیط خیس و در در نتیجه عریض‌تر شدن کanal در این مقطع تا حدی از قدرت فرسایندگی جریان کاهش می‌یابد (جدول ۷ و ۸). این مقطع از رودخانه در کلاس شماره ۱ شوم و از نظر فرسایش کناره‌ای در کلاس متوسط قرار دارد. از نظر خطر ریسک آسیب‌پذیری نیز به ترتیب دارای ریسک متوسط و بالاست. در این مقطع، محدود بودن کanal و کم بودن نسبت عرض به عمق سبب شده است که از نظر ریسک فرسایش در هر دو پارامتر، در رده‌ی بالا قرار گیرد. این مقطع از رودخانه براساس نتایج به دست آمده، در معرض آسیب‌پذیری متوسط است (جدول ۹، ۱۰ و شکل ۵).

مقطع ۵: در این مقطع همانند مقطع ۴، میزان تنش برشی بحرانی از میزان تنش برشی مرزی کمتر است و در زمان ایجاد تنش برشی بحرانی، رسوبات به آستانه حرکت اولیه‌ی خود نمی‌رسد. در این مقطع از رودخانه، مقدار شعاع هیدرولیک کاهش و مقدار محیط خیس افزایش نشان می‌دهد که همین عوامل سبب می‌شود قدرت رودخانه برای

فرسایش کanal کاهاش يابد. علاوه بر موارد فوق اين مقطع، سرعت جريان بالا دارد که همين عامل تشدید کننده‌ی فرسایش پذيری اين مقطع از رودخانه است (جدول ۷ و ۸). اين مقطع از رودخانه‌ی مسیل موچان اینک دارای میزان بالاي فرسایش در هر دو کناره است که همين عامل سبب شده از نظر ريسك آسيب‌پذيری کناره‌ی کanal، در رده‌ی بالا قرار بگيرد. اين مقطع از نظر کlas فرسایش کanal شوم، در کlas شماره‌ی ۳ – که خطر آسيب‌پذيری بالاي دارد – قرار مي‌گيرد. اين مقطع نيز همانند مقاطع ديگر رودخانه، دارای کanal محدود و با دشت سیلابي کم است که همين پaramتر سبب شده از نظر خطر آسيب‌پذيری، رده‌ی بالاي داشته باشد. اين مقطع از رودخانه، تنها مقطعی است که نسبت عرض به عمق آن بيش از ۱۱/۹ مي‌باشد و خطر آسيب‌پذيری متوسط دارد. در نتيجه موارد فوق و محاسبات انجام شده نشان داد که اين مقطع از رودخانه، ريسك آسيب‌پذيری و فرسایش متوسط دارد (جدول ۹، ۱۰ و شکل ۵).

مقطع ۶: براساس نتایج بدست‌آمده مشخص شد که اين مقطع از رودخانه، ريسك آسيب‌پذيری بالاي دارد (جدول ۹، ۱۰ و شکل ۵). در اين مقطع با وجود بالا بودن مقدار محیط خیس و پایین بودن مقدار شعاع هیدرولیک، تفاوت بین عرض کanal فعال و عرض کanal در دبی‌لبالی کم است. علاوه بر پaramترهای فوق، افزایش شیب بستر و بالا بودن میزان تنفس برشی بحرانی و سرعت جريان در دبی‌لبالی سبب افزایش قدرت جريان در اين مقطع شده است و در صورت ایجاد دبی‌لبالی، کناره‌ی سمت راست فرسایش‌پذيری بیشتری را متحمل می‌شود (جدول ۷ و ۸). اين مقطع از رودخانه در کlas فرسایشی شماره‌ی ۵ شوم و از نظر کlas فرسایش کناره‌ای، در رده‌ی متوسط و از نظر ريسك آسيب‌پذيری، به ترتیب در رده‌ی متوسط و بالا قرار دارد. نسبت محدود بودن کanal آن ۱/۵ است که همين عامل سبب شده از نظر خطر آسيب‌پذيری در حد بالا باشد؛ زيرا میزان دشت سیلابي آن محدود و کم است که همين پaramتر در افزایش میزان آسيب‌پذيری نقش بسياري دارد. در اين مقطع، نسبت عرض به عمق کمتر از ۱۱/۹۹ است که باعث شده از نظر کlas فرسایش‌پذيری در حد بالا باشد (جدول ۹).

مقطع ۷: در اين مقطع، تفاوت بین عرض کanal فعال و عرض کanal در دبی‌لبالی زياد است که اين امر تفاوت بین جريان در حالت عادي و در حالت دبی‌لبالی را نشان مي‌دهد. در اين مقطع با وجود بالا بودن مقدار محیط خیس و کم بودن مقدار شعاع هیدرولیک، وجود پaramترهای ديگر از جمله افزایش عمق دبی‌لبالی، میزان بالاي تنفس برشی بحرانی و سرعت بالاي جريان، سبب می‌شود که قدرت رودخانه برای فرسایش کanal افزایش يابد و در نتيجه آسيب‌پذيری بالاي داشته باشد که بیشترین میزان آن در کناره‌ی سمت چپ اتفاق می‌افتد (جدول ۷ و ۸). اين مقطع در کlas کanal طبیعی (کlas ۱) و کlas فرسایش کناره متوسط قرار مي‌گيرد و از نظر خطر ريسك آسيب‌پذيری به ترتیب دارای ريسك متوسط و ريسك بالا است. محدود بودن کanal و کم بودن نسبت عرض به عمق در اين مقطع باعث شده است که از نظر ريسك فرسایش در هر دو پaramتر، در رده‌ی بالا قرار گيرد. همچنین اين مقطع از رودخانه از نظر آسيب‌پذيری و میزان فرسایش نيز در کlas بالا قرار دارد (جدول ۹، ۱۰ و شکل ۵).

مقطع ۸: اين مقطع از رودخانه در کlas آسيب‌پذيری بالا قرار مي‌گيرد (جدول ۱۰ و شکل ۵)، اما تفاوت بین عرض کanal فعال و عرض کanal در دبی‌لبالی زياد است که اين امر تفاوت بین جريان در حالت عادي و در حالت دبی‌لبالی را نشان مي‌دهد. پaramترهای مقدار محیط خیس و پایین بودن مقدار شعاع هیدرولیک تا حدی قدرت فرسایندگی جريان را کاهش مي‌دهند. از سوی ديگر، در اين مقطع عمق دبی‌لبالی افزایش مي‌يابد که همين عوامل

سبب می‌شود قدرت رودخانه برای فرسایش کanal افزایش یابد. علاوه بر موارد فوق، این مقطع از رودخانه دارای میزان بالای تنش برشی بحرانی و سرعت جریان است که همین عوامل سبب شده میزان بالایی از آسیب‌پذیری داشته باشد که در صورت وقوع دبی‌لبالی، کناره‌ی سمت چپ بیشترین میزان آسیب‌پذیری را دارد (جدول ۷ و ۸). در کلاس کanal طبیعی (کلاس ۱) و کلاس فرسایش کناره‌ای، در حد متوسط است؛ بنابراین، از نظر ریسک فرسایش کناره‌ای بالا و از نظر ریسک فرسایش کلاس شوم در حد متوسط است. کanal در این مقطع از رودخانه از نظر محدود شدگی دارای ریسک بالای فرسایش است؛ زیرا هر چه میزان دشت سیلانی یک کanal کمتر باشد به محدود شدن بیشتر کanal و در نتیجه ریسک بالای فرسایش‌پذیری منجر می‌شود. از جنبه‌ی دیگر، کم بودن نسبت عرض به عمق کanal در مقطع شماره‌ی ۸ باعث شده‌است که در خطر فرسایش بالا قرار گیرد (جدول ۱۰).

۵- بحث و نتیجه‌گیری

نتایج بدست آمده از محاسبات آسیب‌پذیری کanal نشان داد که تمامی مقاطع رودخانه‌ی مسیل موچان، در معرض فرسایش‌پذیری و در نتیجه آسیب‌پذیری قرار دارد. از ۸ مقطعی که ارزیابی شد، ۵ مقطع (مقاطع ۱، ۲، ۳، ۴ و ۵) دارای ریسک آسیب‌پذیری متوسط است و ۳ مقطع (۶، ۷ و ۸) نیز در معرض خطر آسیب‌پذیری بالا قرار دارد. نتایج حاصل از آسیب‌پذیری در ۲ سطح مورد بررسی نشان می‌دهد که در سطح شاخص‌های مورفومتری کanal در تمامی این ۳ مقطع، میزان شیب و عمق دبی‌لبالی بالاست و این پارامترها سبب افزایش سرعت جریان در دبی‌لبالی در این مقاطع از رودخانه می‌شود. علاوه بر موارد فوق، هر سه مقطع بیشترین میزان تنش برشی بحرانی را دارد که در صورت وقوع دبی‌لبالی، بیشترین میزان تنش برشی و در نتیجه فرسایندگی رخ می‌دهد.

در این مقاطع با وجود بالا بودن مقدار محیط خیس و پایین بودن مقدار شاعع هیدرولیک که به کاهش قدرت جریان منجر می‌شود، بالا بودن میزان تنش برشی بحرانی و سرعت جریان در دبی‌لبالی سبب افزایش قدرت رودخانه و در نهایت ایجاد ریسک بالای آسیب‌پذیری منجر می‌شود.

با توجه به شکل ۵ و جدول ۱۰ مشخص شد که حساسیت مقاطع در مقابل فرسایش یکسان نیست؛ به گونه‌ای که مقاطع بالا دست حساسیت بیشتری نسبت به فرسایش دارند. برای تشخیص دلیل این موضوع، متغیرهای مورد مطالعه در مقاطع مختلف بررسی شد. بررسی‌ها نشان داد که در مقاطع میانی و پایینی (۱ تا ۵)، تراکم ریشه‌ها و عمق آن بیش از مقاطع دیگر بود که تحت عنوان پارامتر ضربی مانینگ و پهنه‌های حفاظت شده و قادر تولید رسوب مورد بررسی قرار گرفت. در واقع، پوشش گیاهی هر سه فرآیند فرسایشی کناره (فرسایش هیدرولیک رودخانه، حرکات توده‌ای و تنش برشی مکانیکی و هیدرولیکی مواد کناره) را - که توسط Lawler (1995) یافته شده‌است - تحت تأثیر قرار می‌دهد. Wynn and Mostaghimi (2006) مشخص کردند که تراکم ریشه، تأثیر قابل توجهی بر فرسایش کناره در جنوب غربی ویرجینیا آمریکا دارد. مطالعات قبلی نشان می‌دهد که پوشش گیاهی درختی، نرخ فرسایش را از طریق اتلاف انرژی ستون آب کاهش می‌دهد. این فرآیند، از طریق افزایش زبری و مقاومت کششی ناشی از افزایش چسبندگی Schumm, 1973 & Thorne, 1990 & Gurnell, 1997 فراهم شده به وسیله‌ی ترکیب ریشه و خاک صورت می‌گیرد.

Genet et al, 2005 & Pollen, 2007). علاوه بر این، نتایج نشان می‌دهد که تفاوت گونه‌های مختلف گیاهی نیز

مقادیر متنوعی از مقاومت کششی را نسبت به خاک فراهم می‌کند (Genet et al, 2005 & Pollen, 2007).

حساسیت فرسایش محاسبه شده در مقاطع مختلف رودخانه‌ی مسیل موچان نشان می‌دهد که فرسایش، بیشتر در بخش‌هایی رخ می‌دهد که پوشش گیاهی وجود ندارد؛ یعنی جایی که پوشش گیاهی کم است، حساسیت به فرسایش نیز بیشتر است (مقاطع ۶ تا ۸). در این مدل متغیرهای ضریب مانینگ، پهن‌های حفاظت شده، اندازه‌ی رسوبات، سرعت جریان و مورفومتری کanal با هم در ارتباط هستند و در صورتی که با یکدیگر ترکیب شوند، می‌توانند امتیاز بالایی را در مدل برای مقطع مورد مطالعه ایجاد کنند که به کسب امتیاز بالا برای مقطع مورد نظر و حساسیت بالای کناره نسبت به فرسایش منجر شود.

یک متغیر دیگر مورد بررسی در این مدل که می‌تواند در تفاوت حساسیت کناره‌ها دخالت داشته باشد، ویژگی‌های مواد تشکیل‌دهنده‌ی کناره (خاک) است. این ویژگی به عنوان متغیر تعدیل و تنظیم کننده‌ی مواد کناره شناخته می‌شود. در واقع مواد کناره‌ای مختلف، حساسیت‌های متفاوتی را در مقابل فرسایش ایجاد می‌کند؛ به عنوان مثال، کناره‌های رسی به علت چسبندگی نسبت به کناره‌های ماسه‌ای و شنی، به آهستگی و در زمان طولانی فرسایش می‌یابد. Wynn (2006) and Mostaghimi (1973) دریافته‌اند که وزن مخصوص ظاهری خاک، فاکتور خیلی مهم و مؤثر بر فرسایش کناره است. در واقع، خاک با وزن مخصوص ظاهری بالاتر به کاهش فرسایش پذیری خاک منجر می‌شود (Schumm, 1973). خاک غنی از رس، معمولاً وزن مخصوص ظاهری بالاتری دارد که در طول رودخانه‌ی مسیل موچان در مقاطع پایینی مشاهده شده است. رس تمایل به چسبندگی بیشتر با یکدیگر داشته و آستانه شکست آن خیلی بالاتر است؛ به عنوان مثال، در مقطع ۱ و ۴ با وجود پوشش گیاهی تقریباً مشابه مقاطع ۶ تا ۸ بوده، ولی حساسیت کمتری نسبت به فرسایش داشته است. این وضعیت ناشی از مواد تشکیل‌دهنده‌ی کناره است که به طور عمده، ریزدانه در حد رس بوده که یکی از عوامل مؤثر، نوع مواد تشکیل‌دهنده‌ی کناره و لایه‌بندی آن بوده است.

عدد زاویه قرار پاره‌سنگ‌ها در تمامی کناره‌ها، مشابه بدت آمد و به همین دلیل به عنوان پارامتری تأثیرگذار در آسیب‌پذیری کanal لحاظ نشده است. در نتیجه بیشترین میزان فرسایش در کناره‌های رخ می‌دهد که شیب بیشتری دارد. در تمامی مقاطع به جز مقطع ۵ و ۶، کناره سمت چپ به دلیل بیشتر بودن شیب دارای فرسایش پذیری بیشتری است. از نظر شاخص‌های کلاس خطر پارامترهای محاسبه شده نیز تفاوت در نسبت فرسایش پذیری سبب شده است که خطر آسیب‌پذیری در مقاطع مختلف باهم متفاوت باشد. مقدار فرسایش پذیری، از نسبت عرض دبی سیالاب به عرض کanal محاسبه می‌شود و همین عامل، تفاوت در مورفومتری کanal در این مقاطع را نشان می‌دهد و همگری کمتر از ۱/۶ است که ریسک فرسایش پذیری بالایی را نشان می‌دهد، همچنین میزان دشت سیالابی در هر سه مقطع نیز محدود است. Hosseinzadeh and Gholami (2018) در خصوص بررسی پایداری بستری رودخانه‌ی مسیل موچان با استفاده از تنش برشی بحرانی و دبی واحد بحرانی نشان داد که مقاطع بالادست ناپایدارتر از مقاطع پایین دست است. زیر تمامی رسوبات در جریان دبی لبالی در مقاطع بالادست به حرکت درآمده است و ناپایداری کanal را موجب می‌شود؛ در صورتی که در مقاطع پایینی، فقط ذرات D₁₆ و D₅₀ در حالت دبی لبالی ناپایدار می‌شود. تحلیل ناپایداری رودخانه‌ی

مسیل موچان با استفاده از مدل آسیب‌پذیری نیز نتایج مشابهی را در پی داشته و حساسیت بیشتری را نسبت به فرسایش نشان داده است.

منابع

- Arnold, C. L.; Boison, P. J.; & P. C. Patton, 1982. Sawmill Brook: an example of rapid geomorphic change related to urbanization, *J. Geol.*, 90, 155–166.
- Bandyopadhyay, S.; Ghosh, K.; & De. S. Kumar, 2014. A proposed method of bank erosion vulnerability zonation and its application on the River Haora, *Tripura, India, Geomorphology*, 224, 111–121.
- Bentrup, G., & C. Hoag., (1998). The Practical Streambank Bioengineering Guide. USDA Natural Resources Conservation Service. Plant Materials Center. Aberdeen. Idaho. pp. 38–150.
- Booth, D. B., 1990. Stream-channel incision following drainage-basin urbanization, *Water Resour. Bull.*, 26, 407–417.
- Booth, D. B., & P. C. Henshaw., (2001). Rates of channel erosion in small urban streams. In: Wigmosta, M. S., Burges, S. J. (Eds.), Landuse and watersheds: human influence on hydrology and geomorphology in urban and forest areas. Water Science and Application. American Geophysical Union. Washington, DC. pp. 89–94.
- Gholami, P., 2018. Morphodynamics Processes Affecting on Channel Unstability and Bank Erosion in Masiel Mouchan River of Astaneh, Master's Thesis. Natural Geography department, Shahid Beheshti University, 11p. (in Persian).
- Gilvear, D. J., & S. J. Winterbottom., (1992). Channel change and flood events since 1783 on the regulated River Tay, Scotland: implications for flood hazard management. *Regul. Rivers Res. Manag.* 7, 247–260.
- Gilvear, D. J., & S. J. Winterbottom., (1998). Changes in channel morphology, flood frequency and magnitude and floodplain land-use on the River Tay, Scotland, over the last 250 years; implications for floodplain management. In: Bailey, R.J. (Ed.), UK Floodplains. Westbury Publishing. Otley. pp. 93–114.
- Gilvear, D. J.; Davies, J.; & S. J. Winterbottom, 1994. Mechanisms of flood embankment failure during large flood events; River Tay, Scotland, *Q. J. Eng. Geol.* 27, 319–332.
- Gilvear, D. J.; Bryant, R.; & T. Hardy, 1999. Remote sensing of channel morphology and instream fluvial processes, *Prog. Environ. Sci.*, 3, 257–284.
- Gordon, N. D.; McMahon, T. A.; Finlayson, B. I.; Gipple, C. J.; & R. J. Nathan, 2004. Stream hydrology an interoduction for ecologists, John Wiley & Sons Ltd, 429 p.
- Genet, M.; Stokes, A.; Salin, F.; Mickovski, S. B.; Fourcaud, T.; & J-F. Dumail et al, 2005. The influence of cellulose content on tensile strength in tree roots, *Plant and Soil*, 278, 1-9.
- Gurnell, A., 1997, The hydrological and geomorphological significance of forested floodplains, *Global Ecology and Biogeography Letters*, 6, 219-229.
- Hammer, T. R., 1972. Stream channel enlargement due to urbanization, *Water Resour. Res.*, 8, 139–167.
- Hassanzadeh, Y.; Tabatabai, M. R. M.; Imanshoar, & M. Frostamipoor, 2012. Experimental study of subsurface erosion in river banks, *World Acad. Sci. Eng. Technol.*, 61, 791–795.
- Hosseinzadeh, M. M.; Esmaili, R.; & S. Motevalli, 2012. Field techniques in Fluvial Geomorphology, 1st edition. Lahot Publishing, 22 p. (in Persian).
- Hosseinzadeh, M. M; Esmaili, R; & S. Motevalli, 2006. An Analysis of the Efficiency of the Rosgen Classification System Case study of the Babylonian and Hollow River Rivers in the Range of the Caspian Sea coastal plain, *Journal of science and research branch*, 2(5), 53-66. (in Persian).

18. Hosseinzadeh, M. M., & P. Gholami., (2018). Hydrological analysis of bed stability in the Masiel Mouchan River- Markazi Province, *Journal of Eco Hydrology*, 2(5), 525-533. (in Persian).
19. Haghabi, A., & S. Emamgholizadeh., (2016). Estimation of lateral erosion of the wavy sections of the Kashkan River, *Journal of Geography and development*, 40, 125-138. (in Persian).
20. Jacobson, R. B.; Femmer, S. R.; & R. A. McKenney, 2001. Land-use changes and the physical habitat of streams — a review with emphasis on studies within the US Geological Survey Federal — State Cooperative Program, *Circular*, 1175, 131–152 (US Geological Survey. Reston, VA).
21. Kwan, H., & S. Swanson., (2014). Prediction of Annual Streambank Erosion for Sequoia National Forest, California, *JAWRA Journal of the American Water Resources Association*, 50 (6), 1439–1447.
22. Lawler, D. M., 1995, The impact of scale on the processes of channel-side sediment supply: a conceptual model, *Effects of Scale on Interpretation and Management of Sediment and Water Quality*, 226, 175-184.
23. Nagata, N.; Hosoda, T.; & Y. Muramoto, 2000. Numerical analysis of river channel processes with bank erosion, *J. Hydraul. Eng*, 126 (4), 243–252.
24. Nieber, J. L.; Wilson, B. N.; Ulrich, J. S.; Hansen, B. J.; & D. J. Canelon, 2008. Assessment of streambank and bluff erosion in the Knife River watershed, Final Report Submitted to Minnesota Pollution Control Agency, pp. 1–58.
25. Olley, J. M.; Murray, A. S.; Mackenzie, D. M.; & K. Edwards, 1993. Identifying sediment sources in a gullied catchment using natural and anthropogenic radioactivity, *Water Resour. Res*, 29, 1037–1043.
26. Pollen, N., 2007, Temporal and spatial variability in root reinforcement of streambanks: Accounting for soil shear strength and moisture, *Catena*, 69, 197-205.
27. Prosser, I. P., & S. J. Winchester., (1996). History and processes of gully initiation and development in Australia. *Z. Geomorphol. Suppl. bd.* 105, 91–109.
28. Rezaei Moghadam. M. H.; Servati, M. R.; & S. Asghari Sarasankarood, 2014. Analysis of the stability of the duct of Ghezel Ozan River using shear stresses Indices of relative strength of bed and field studies, *Journal of Irrigation & Water Engineering*, 1 (1), 33-46. (in Persian).
29. Rosgen, D. L., 1996. Applied River Morphology. Wildland Hydrology Books, Pagosa Springs,Colorado, pp. 6–42.
30. Rosgen, D. L., 1999. Development of a river stability index for clean sediment TMDL's. In: Olsen, D. S., Potyondy, J. P. (Eds.), Proceedings of Wildland Hydrology. AWRA,Bozeman, Montana, pp. 25–36.
31. Rosgen, D. L., 2001a. A practical method of computing streambank erosion rate, 7th Federal Interagency Sediment Conference, March 24–29, Reno, Nevada.
32. Sandra, J. W., & J. G. David., (2000). A GIS-based approach to mapping probabilities of river bank erosion: regulated River Tummel, *Scotland. Regul. Rivers Res. Manag*, 16, 127–140.
33. Schumm, S. A., 1973, Geomorphic thresholds and complex response of drainage Systems, Fluvial Geomorphology, In: M. Morisawa (Editor), Binghamton, New York.
34. Simon, A.; Bankhead, N.; & R. E. Thomas, 2010. Iterative bank stability and toe-erosion modeling for predicting stream bank loading rates and potential load reductions, paper presented at Joint Federal Interagency Conference, Subcomm. on Hydrol, And Sediment., Advis, Conference on Water Info, Las Vegas, Nev., 27 June to 1 July.

35. Thorne, C. R., 1990, Effects of vegetation on riverbank erosion and stability, *Vegetation and Erosion: Processes and Environments*, Thornes, J. B. (Editor), John Wiley & Sons Ltd. West Sussex.
36. Wallbrink, P. J.; Murray, A. S.; Olley, J. M.; & L. J. Olive, 1998. Determining sources and transit times of suspended sediment in the Murrumbidgee River, New South Wales, Australia, using fallout ^{137}Cs and ^{210}Pb , *Water Resour. Res.*, 34, 879–887.
37. Wasson, R. J.; Mazari, R. K.; Starr, B.; & G. Clifton, 1998. The recent history of erosion and sedimentation on the Southern tablelands of southeastern Australia: sediment flux dominated by channel incision, *Geomorphology*, 24, 291–308.
38. Wynn, T. M. & S. Mostaghimi., (2006). The effects of vegetation and soil type on streambank erosion, Southwestern Virginia, USA, *Journal of the American Water Resources Association*, 42 (1), 69-82.
39. Yamani, M.; Rahimi, M.; & A. Visi, 2016. The morphometry and comparison of the transitions of the Arus river during the last three decades, *Journal of Quantitative geomorphological research*, 3(4), 74-89. (in Persian).

Assessment of the sustainability and instability of bank and bed of the Masil-Muchan river (Astaneh city - Markazi province)

Parvin Gholami¹: MSc of geomorphology, Faculty of Earth Sciences, Shahid Beheshti University, Tehran.

Mohammad Mahdi Hosseinzadeh: Associate Professor of Geomorphology, Faculty of Earth Sciences, Shahid Beheshti University, Tehran.

Article History (Received: 2018/06/2 Accepted: 2019/02/14)

Extended abstract

1- Introduction

Rivers are one of the dynamic landforms of natural landscapes that are subject to changes due to environmental variables and human interactions during different times and locations. Changes in the river, erosion of the bed and river bank are natural processes of alluvial rivers that destroy the surrounding agricultural land and damage human installations around the river. Human activities, such as the degradation of basin vegetation and the uncontrolled harvesting of river water, cause more pressure on the river and the destruction of the plant covered area along the river and the change of the river ecosystem. Therefore, the erosion of bed and bank and channel changes, finally, the vulnerability of the channel, as social and economic issue, often causes irreparable damage to residents and facilities in riverside. Curitit (2014) predicts the erosion and sustainability of the riverbank in Stony Clove Creek in Catskills, using the analysis of the Bank Assessment for *Non-point Source Consequences of Sediment (BANCS)*. This study showed that the results obtained through the BANCS method may lead to improved management of the future of the Stony Clove Basin. Hosseinzadeh et al. (2005) studied the efficiency of the Rasgen classification system in the rivers of Babol and Talar in the Caspian Sea coastal plain. The results of this study showed that the prediction of the river type using this method can not be substituted as real research on the river and can lead to failure of management plans.

2- Methodology

The study area is a reach of 5.65 km in the Masil-Muchan river. The river originates from the northern and eastern mountains of Amarat village and joins the Shara River, one of the main branches of the Gharache river. The average discharge of Masil-Muchan river is 0.23 cubic meters per second and its Sediment discharge rate is 0.76 cubic meters per day. This river is located in Astaneh city, Markazi province. The channel vulnerability model, by dividing the average shear boundary stress (erosion forces) and shear stresses for each cross section of river, calculates the ratio of erodability both quantitatively and qualitatively, and based on that, the amount of damage to the channel is determined. The calculated data for the first stage for this model included active channel width, valley width, calculated area of protected areas and no sediment production in studied basin, channel slope, channel width in bankfull, channel depth in bankfull, boundary and critical shear stress, Manning coefficient and flood width are considered. The required data for the second stage of the channel vulnerability model is as follows:

- 1) Determining the type of sediment substrate: sediment types are classified into three general categories: a) non cohesive; b) cohesive deposits; and c) concrete bedrock, which the type of sediment was determined on the basis of field observations.
- 2) Determination of bank erosion class: In this model, bank erosion classes are divided into three erosion classes: low, moderate and high erosion, that their type at each cross section was determined on the basis of field observations and comparison with the photograph.
- 3) Determination of erosion class of the channel in Schumm class: According to Schumm river model, the rivers are classified into six classes. The type of erosion class of river channel, was determined using field

¹ Pari.gholami71@gmail.comq

observations and cross-sectional profiles, and comparing it with Schumm river classes at each cross section of the river, then the river erosion class number entered the vulnerability model. Depending on type of Schumm erosion class and bank erosion, the degree of erosion is different in both classes. In the third stage, using the data provided, the ratios and classes of effective parameters, the rate of channel vulnerability is calculated in all cross sections of river. the ratios and classes of effective in rate of channel vulnerability are as follows: 1) risk of channel erodability rate, 2) risk of channel entrenchment, 3) At the end is calculated channel vulnerability.

3- Results

In this study, the channel vulnerability model was used to investigate and determine the Instability and vulnerability of the channel in Masil Muchhan river. With this aim, 8 cross sections were selected in a reach of 5.55 km between villages of Ghaleh and Sarsakhti and calculated shear stress and channel erosive forces on the basis of field data and some of the effective parameters in the channel, and at the end was determined vulnerability of the river by describing all parameters as a table in the main article. Based on the calculations, it was found that all cross sections of the Masil Muchhan river are subject to moderate to high vulnerability; cross sections 1, 2, 3, 4, and 5 have a moderate vulnerability and cross sections 6, 7 and 8 have a high vulnerability risk that Is described the causes of erodibility difference, vulnerability and cross-sectional profile of all cross sections is expressed in the original article.

4- Discussion & Conclusions

The results of the channel vulnerability calculations showed that all cross sections of the Masil Muchan river are subject to erodibility and thus vulnerability. Of the 8 cross-sections that were evaluated, 5 cross-sections (sections 1, 2, 3, 4, and 5) have a medium vulnerability risk and three cross sections (6, 7, and 8) are at high vulnerability risk. The results of vulnerability were investigated in two levels: the results of vulnerability in two levels showed that at the level of morphometric indices of the channel, all of these three cross sections showed a high degree of slope and depth of bankfull. These parameters increase the flow velocity at bankfull discharge in these cross sections of river. In addition to the above, all three sections have the highest critical shear stress, which, in case of bankfull discharge, causes the highest amount of shear stress and thus erodibility. In these sections, despite the high Wet perimeter and low amount of hydraulic radius, which reduces the flow of power, but the high shear stress and flow velocity in bankfull discharge, increases the power of river and ultimately creates a high risk of vulnerability. Angle of repose on all banks was obtained by a similar number and therefore not considered as an effective parameter in the channel vulnerability. As a result, the largest amount of erosion occurs for banks which are more sloping. In all sections except sections 5 and 6, the left banks have more erodibility due to greater slope.

Key Words: Channel vulnerability, River erosion, Masil-Mochan River, Channel Stability.